

スツルム・ランチョス法

村田 健郎 (日立中研)

梅谷 征雄 (全上)

1 はじめに：

最近、ランチョス法系統の二つの論文：

Parlett·Scott の Lanczos with Selective Orth. (1979, Math. Comp.)⁽²⁾

Ericsson·Ruhe の Spectral Shift Lanczos (1980 Math. Comp.)⁽⁴⁾

が相次いであらわれた。^{*} これらはそのままでは汎用性に問題があり、メーカーのプログラムプロダクトとするには尚多くの検討、改造を要すると推測されるが、両者を統合してやれば、汎用性は免も角として、かなり強力なものとなし得るのではないかと思われる。汎用性に関しては、Spectral Shift の戦略に問題ありと感じられるので、「免も角」と言ったわけである。

ところで、前報：スツルム・同時逆反復法のプログラム、GINVRY⁽¹⁾において開発したグループ分け手法は、高度の汎用性があるから、GINVRY のワク組みを基本にして、GINVRY の中の各グループ毎の（同時または単独）逆反復のところを、Parlett·Scott 流の選択的直文化つきランチョスにおきかえたものを作り、それと、GINVRY そのものとの汎用性と性能比較を行って見たいと考えた。

* Parlett が最近書いた本⁽³⁾も併読されたい。

2 準備 (2, 3より)

[exact arith. による場合の主な定理]

眞の固有値を λ_i , ランチヨスを \mathcal{Q} ステップで切って T_j を作り、その固有値を $\theta_i^{(j)}$, $i=1, \dots, j$ (リツ値) とする。
 (j) をしばしば省略して単に θ_i と書く。 T_j を固有値解析して $T_j S_j = S_j \mathcal{H}_j$ としたとき、これと周知の関係:

$$A Q_j - Q_j T_j = \beta_j q_{j+1} e_j^* \quad (e_j^* = (0, \dots, \overset{j\text{番目}}{1}, \dots, 0))$$

とを合せると、残差ベクトル $A y_i - y_i \theta_i$ (但し $y_i = Q_j s_i$) に
 関し、固有ベクトル s_i の第 j 要素を $s_{j;i}$ と書くとき、

$$A y_i - y_i \theta_i = A Q_j s_i - Q_j s_i \theta_i = \beta_j q_{j+1} e_j^* s_i,$$

これから、

$$[1] \|A y_i - y_i \theta_i\| = \beta_j \|e_j^* s_i\| = \beta_j |s_{j;i}|$$

(これは有用な関係である。プログラムの中でも使う)

次いで、残差ノルムと近似固有値についての関係から、

$$[2] \text{各 } \theta_i \text{に対し } \gamma_i; |\lambda_i - \theta_i| \leq \beta_j \|e_j^* s_i\| = \beta_j |s_{j;i}|$$

これより積極的に (固有値の近接度と関係させて)

$$[3] A z_i = \lambda_i z_i, r_i = \min_{k \neq i} |\lambda_k - \theta_i| \text{ として, } \gamma_i;$$

$$|\lambda_i - \theta_i| \leq (\beta_j |s_{j;i}|)^2 / r_i$$

r_i は計算できないが、代りに $\delta_i = \min_{k \neq i} |(\theta_k \pm \beta_j |s_{j;i}|) - \theta_i|$
 がゼロでないならば、 r_i のところに δ_i を代用できる。こうして、プロ
 グラムの中でも利用できるが、今回は使わなかった。

さてコンピュタ演算となると、上記のようには行かない。まず直交関係 $Q_j^* Q_j = I$ が崩れる。 $Q_j^* Q_j$ の最小固有値の平方根を $\sigma_1(Q)$ とすると [2] は次の形をとる：

$$[4] \quad |\lambda_i - \theta_i| \leq \sqrt{2} (\beta_j |e_j^* s_i| + \|F_j\|) / \sigma_1(Q_j),$$

ここに F_j は、 $AQ_j - Q_j T_j = \beta_j q_{j+1} e_j^* - F_j$ (丸め誤差によるもの)

$\|F_j\|$ は、 $n * (\text{計算機 eps}) * \|A\|$ のオーダ以下ゆえ そろ心配することはないが、 $\sigma_1(Q_j)$ が 1 から離れて殆んどゼロになることがある。これが困る。次の Paige の定理が、選択的直交化つきランチヨスの基礎となっている：

$$[5-1] \quad y_i^* y_k = [g_{ii}(s_{jk}/s_{ji}) - g_{kk}(s_{ji}/s_{jk}) + f_{ik}] / (\theta_i - \theta_k)$$

$$[5-2] \quad y_i^* q_{j+1} = g_{ii} / \beta_{ji} = g_{ii} / (\beta_j |s_{ji}|)$$

ここで G, F は丸め誤差行列で、 $\|G\| \approx \|F\| \approx \sqrt{n} * (\text{計算機 eps}) * \|T_j\|$ 。

[5-1]：収束していない リツベクトル y_i, y_k はよく直交しており、一方、収束していない y_k には、よく収束している y_i の成分を多く含むと主張。

[5-2]： q_{j+1} には、よく収束している y_i の成分を多く含むと主張。

そこで、 q_{j+1} から、よく収束している y_i の成分をぬきとるという操作を各 j についてやって行けば、それで十分になるのではないか？。これが Parlett 等の考え方の大筋である*。今回この線に沿ってプログラムを作成した。それを次に示す。

*(2) には、他にいくつかの戦略が併説されているが、今回は (3) にのっているものに大筋を従った。

3 テストに使用のプログラムの体系と LANSO

$\{ Ax = \lambda x \text{ の } 0 < \lambda_i < al \text{ なる } \lambda_i \text{ と } v_i \ (i=1, \dots, nc) \text{ を求める}\}$
 $\text{eps, epso, epsl, epsq}$ を与える。 (例 $10^{-9}, 0.2 \times 10^{-9}, 10^{-6}, 10^{-3}$)

SSTRM 使用の二分法 BISECT により、nc と粗いグループ分け情報及 $nc[i]$, $xu[i]$, $xl[i]$, $i=1, \dots, nc$ を得る。

合理的なグループ分けを行う。SSTRM を用いて使用
 グループ番号 ig , 固有値個数 $ln[ig]$,
 グループ下限 $xug[ig]$, 上限 $xlg[ig]$, $igmax$ を決定

$k=1$
 $do \ ig = 1, igmax \quad \{ \text{ここまで GINVRY と同じ} \}$

① $h = (xlg[ig] - xug[ig]) / 2.0$
 $shift = xug[ig] + h \quad \{ ig \text{ 区間の中点} \}$

$B = A - shift * I$ をコレスキ $U^T D U$

② $r = (DU)^{-1} e \quad \{ \text{ウイルキンソンの初期ベクトル} \}$

$r = B^{-1} r$

LANSO { Lanczos with Selective Orth. }
 (次頁)

400 CONTINUE { ここから先は GINVRY と同じ }

LANSO で収束しないもの : $diff > eps$ を RL 商レット
 つき逆反復*で止めを刺す

$k = k + ln[ig] \quad \{ k \text{ を次のグループの先頭に進める} \}$

① : Shift 値が異常に固有値に近い、その他の理由で「ピボット値」がある程度以下になったときは、shift 値を移動してやり直す。(GINVRY と同じ)

② : 1回逆反復をほどこして shift 値から遠い(グループの外の) 固有値に対する固有ベクトル成分を予じめふるっておく。(結果が若干よい様子)

* Rayleigh 商を毎回作ってレット商を更新しながら行なう逆反復、RL 逆反復と略称。

LANSSO の主要部

$q_1 = Y ; u = B^{-1}Y ; \alpha = q_1^T u$ {これよりランソス}
 $Y = u - \alpha * q_1 ; \beta = (Y^T Y)^{\frac{1}{2}}$
 $ta[1] = \alpha ; tb[1] = \beta ; norm = |\alpha| + |\beta|$
 $c = -1$
 $jmax = 16 + 8 * ln[ig]$

③ do $j = 2, jmax$
 | count = 0
 | $q = Y/\beta ; u = B^{-1}q ; Y = u - \beta * q_{j-1} ; \alpha = q^T Y$
 | $Y = Y - \alpha * q ; \beta = (Y^T Y)^{\frac{1}{2}} ; q_j = q$
 | $ta[j] = \alpha ; tb[j] = \beta ; norm = max(norm, |\alpha| + 2|\beta|)$
 | $c = c * (-1)$
 | if $c = 1$ then
 | 三重対角行列 T_j の固有値の逆数 μ_{ji} ($i=1, \dots, j$) を求める、それを絶対値の小さい方から順にならべ、改めて μ_{ji} とする。
④ $-h - epsq < \mu_{ji} < +h + epsq$ なる i の max を nqd とする。
⑤ difom = 0.0
⑥ do $i = 1, nqd$ {これより Selective Orth.}
 | T_j の固有ベクトル $s_i = (s_{i1}, \dots, s_{ij})^T$ を計算
 | $b_{ji} = |tb[j]| * |s_{ji}| ; epsqn = epsq * norm$
 | if $b_{ji} < epsqn$ then
 | $y_i = Q_j s_i ; \lambda_i = shift + \mu_{ji}$
 | Y から y_i 成分をぬきとる。
 | $difo = \| A y_i - \lambda_i y_i \|$
 | $epsc = epsl * norm ; difom = max(difo, difom)$
 | if $(difo < epsc) \wedge (-h \leq \mu_{ji} \leq h)$ count = count + 1
 | if $(count \geq ln[ig]) \wedge ((j > L * (ln[ig] + 2)) \vee (difo < eps0))$
 | go to 400

⑦
⑧
⑨ if count < ln[ig] ifusok = ln[ig] - count
400 continue

- ③ : 例えば、グルーフ^o内の λ_i の個数 $ln[ig]$ が 5 なら $j_{max} = 16 + 40 = 56$ 。
まだ、これで本当によいかどうか確かでない。
- ④ : 毎回 T_j を固有値解析し、再直交化するのは馬鹿らしいからこうした。
- ⑤ : ngd は number of good vectors のつもり。
- ⑥ : ‘ $bij < epsqn$ ’ であるようなベクトル s_i に対しては、いわゆるリツベクトル（もとの空間にひきのばされた $y_i = Q_j s_i$ ）を作り、 \mathbb{I} からその成分をぬきとる。ここが Parlett の LANSO のアイディアである。
- ⑦ : これで、また一本解ベクトルを捕捉したというわけである。
- ⑧ : この if 文は大変こみ入っているが、非常に重要なである。（要するに、どちらあたりで LANSO に見切りをつけて、最後の RL 商につつき逆反復にバトンを渡すのが適当か、というわけである。）特に条件：

$$j > L * (ln[ig] + 2)$$

そのためのパラメータ L は、GINVRY の経験からとりあえず決めているが、まだ自信はない。今のところ、 L は、 $eps0$ 値と関係させて、

$$eps0 = 10^{-9} \sim 10^{-12} \text{ のときは } L = 4$$

$$eps0 = 10^{-12} \sim 10^{-15} \text{ のときは } L = 5$$

と考えているが今回はすべて $L = 4$ のときのデータを載せた。

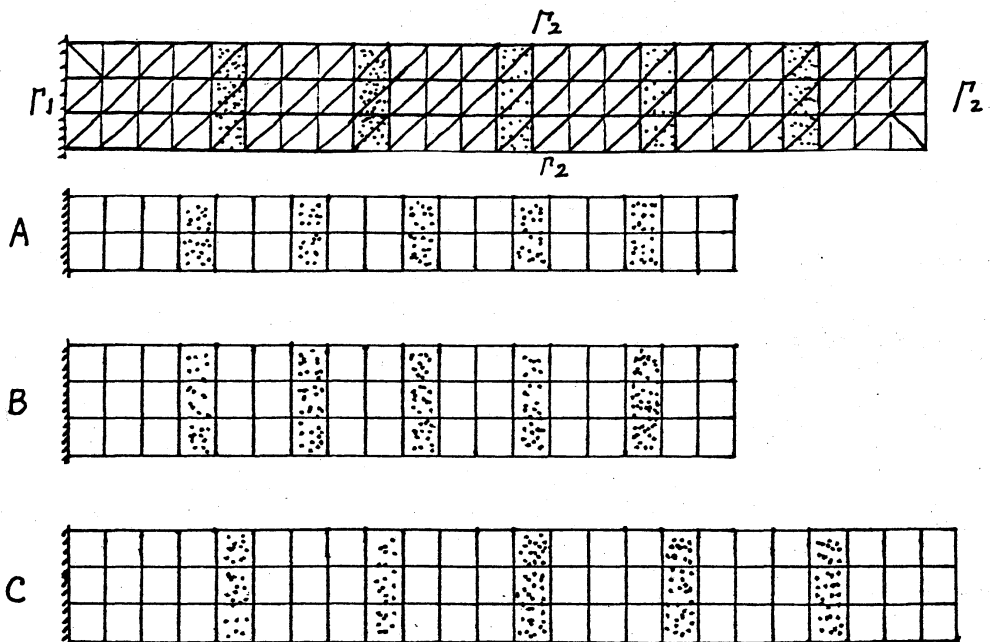
- ⑨ $count < ln[ig]$ のことが、 $epsbi$ の最適値使用のときは、
A1, A2, A4, B1, B4, C1, C4 の諸ケースで、 $eps0 = 0.2 * 10^{-14}$ までの範囲のテストケースで一度も起っていないが
 $epsbi$ を故意に最適値の値から大きく外すと、盛に起る。

4 テスト問題とテストの現状

テスト問題として、とりあえず GINVRY⁽¹⁾ に使ったものの
中から、A1, C1 (近接度の強い固有値をもつものの代表)
及び A4, B4, C4 (素直な固有値分布をしているものの代表)
を考える。

支配方程式は、 $\nabla \cdot (-k(x)\nabla u) = \lambda u \Rightarrow A\tilde{u} = \lambda\tilde{u}$

Γ_1 ：固定境界条件 $u=0$ ， Γ_2 ：自由境界条件 $\nabla u=0$



上図で、□部の丸を 1.0 とし、■部の丸を左から、(X=A,B,Cとして)

問題 X1 $10^{-2}, 10^{-5}, 10^{-5}, 10^{-8}, 10^{-8}$ 例えば "A の場で

問題 X2 $10^{-1}, 10^{-3}, 10^{-3}, 10^{-5}, 10^{-5}$ 物質定数丸を問題

問題 X3 $10^{-1}, 10^{-2}, 10^{-2}, 10^{-3}, 10^{-3}$ 1 のようにえらん

問題 X4 $0.31, 10^{-1}, 10^{-1}, 10^{-2}, 10^{-2}$ だとき、問題 A1

と略称する。

テストの現状：

epsbi 値としては、 $0.4, 0.2, 0.1$ の三ケースについて行った。このテストに使用した RL 逆反復のプログラムは、GINVRY に対してはこのテスト範囲で問題を起していなかつたのであるが、LANSSO の後につなぐときには問題 A1 の次のケスで問題を起した。

$$\text{epsbi} = 0.4, \quad \text{eps} = 10^{-14}, 10^{-12}, 10^{-9}$$

$$\text{epsbi} = 0.2, \quad \text{eps} = 10^{-14}$$

$$\text{epsbi} = 0.1, \quad \text{eps} = 10^{-14}$$

問題 A1 の

$0.633,974,597,5 \dots, \underline{0.633,974,599,3 \dots}, 0.633,974,604,3 \dots, \underline{0.633,974,604,9 \dots}$

という 4 個の近接固有値の中の 2 個（一線）が RL 逆反復過程で滞留して所望精度まで行くまえに反復 5 回打ちきりにかかるのである。テストの当時には、A1 のような甚だしい近接固有値をもつ問題に対しては無理と誤認して、テストの主力を A4, B4, C4 の系列に移してしまった。その後 GINVRY でも、 epsbi その他を故意に適值から大目に外すとき、同様の滞留現象が稀には起ることが判り、原因は RL 逆反復に使用したコレスキにあることがつきとめられた。しかし、改良された RL 逆反復によって LANSSO の方を用いてテストしていないので、今回の報告は非常に不完全なものである。

上述の理由により、問題の素直な A4, B4, C4 の系列についての両者の比較を主として示そう。

$m = 160$ に換算した CPU カウントと USE カウントを示す。
(スツルム・同時逆反復法におけると同じ換算法をとる。)

問題 A4 $\text{eps} = 10^{-9}$, $\alpha_l = 1.5$ ($n_c = 23$)

epsbi	(LAM=6)						(L=4)						最大駆動本数 ↓	
	共通部		SUBSPACE			TOTAL	LANSSO		TOTAL					
	SSTM	LU	支復	4P.v/m	P.v/m	RL	CPU	USE	支復	4P.v/m	P.v/m	RL	CPU	USE
0.4	10	4	84	15	4	6	35	98	90	2	1	0	16	95
0.2	15	6	88	12	3	6	39	103	92	2	1	2	25	101
平均 → 37						101		21						14
98														

問題 B4 $\text{eps} = 10^{-9}$, $\alpha_l = 1.5$ ($n_c = 29$)

epsbi	(LAM=6)						(L=4)						駆動本数 ↓	
	共通部		SUBSPACE			TOTAL	LANSSO		TOTAL					
	SSTM	LU	支復	4P.v/m	P.v/m	RL	CPU	USE	支復	4P.v/m	P.v/m	RL	CPU	USE
0.4	10	3	85	25	6	7	45	101	81	2	1	0	15	85
0.2	17	6	107	17	4	5	43	122	122	3	1	1	27	130
44						112		27						23
113														

問題 C4 $\text{eps} = 10^{-9}$, $\alpha_l = 1.5$ ($n_c = 29$)

epsbi	(LAM=6)						(L=4)						駆動本数 ↓	
	共通部		SUBSPACE			TOTAL	LANSSO		TOTAL					
	SSTM	LU	支復	4P.v/m	P.v/m	RL	CPU	USE	支復	4P.v/m	P.v/m	RL	CPU	USE
0.4	10	4	104	25	6	6	45	120	94	2	1	1	17	100
0.2	15	6	84	12	3	3	36	96	110	3	1	1	25	118
41						108		22						18
108														

$\text{eps} = 10^{-9}$ のとき、

CPU カウントについては LANSSO 使用の方が SUBSPACE 使用のものとくらべて約半分、 USE カウントについてはほぼ同じである。($m = 80$ で評価すると、 LANSSO の方がもっと有利になる。) 次に $\text{eps} = 10^{-14}$ としたときどうなるかを示そう。

問題 A4 $\epsilon_{PS} = 10^{-14}$ $\alpha_l = 1.5$ ($n_c = 23$)

0.4	10	4	92	15	4	18	47	118	128	3	1	8	25	141	28
0.2	15	6	100	12	3	9	42	118	146	4	1	8	33	161	23
							45	116				29	156		

問題 B4 $\epsilon_{PS} = 10^{-14}$ $\alpha_l = 1.5$ ($n_c = 29$)

0.4	10	3	98	29	7	13	55	121	143	4	1	21	39	168	23
0.2	17	6	120	18	5	13	54	144	170	4	1	19	46	196	29
							55	133				43	182		

問題 C4 $\epsilon_{PS} = 10^{-14}$ $\alpha_l = 1.5$ ($n_c = 29$)

0.4	10	4	108	25	6	10	49	128	152	4	1	22	40	179	31
0.2	15	6	120	18	5	14	53	145	170	4	1	8	33	185	28
							51	137				37	182		

$\epsilon_{PS} = 10^{-14}$ においても、CPUカウントについては LANSO 有利、USEカウントについては LANSO 不利となっているがこの程度のことなら、何れにしても大差はないと言ふこともできよう。

約言して、「LANSO は、あまり甚だしい近接固有値をもたない素直な問題を、精度要求を極限まで追求するのではなく解きたいというときには大変有望である」と言えようか。

問題A1, C1 の系列については先程述べたような歯切れの悪い事情があるが、C1については LANSO も正常に動作した

ので、それから先に比較しよう。

問題 C1 $\text{EPS} = 10^{-9}$ $\alpha_l = 1.5$ ($nc = 30$)
 $LQM = 5$

 $L=4$

epsbi	共通部		SUBSPACE			Total			LANSSO			Total		
	SSTM	LU	反復		RL	CPU	USE		RL	CPU	USE			
0.4	9	4	60	12	3	2	27	69	138	3	1	5	21	143
0.2	13	6	61	7	2	3	29	72	122	3	1	1	23	132
0.5	16	7	71	8	2	3	34	83	153	4	1	2	29	163
								30	75				23	196

問題 C1 $\text{EPS} = 10^{-14}$ $\alpha_l = 1.5$ ($nc = 30$)
 $LQM = 5$

 $L=4$

	9	4	95	25	6	7	45	112	156	4	1	22	39	183
	13	6	97	15	4	4	38	111	174	4	1	8	31	189
	16	7	91	11	3	8	42	109	183	5	1	25	53	216
								42	111				41	196

以上 C1 においては $\text{EPS} = 10^{-14}$ のとき CPU カウントは同じくらい、USE カウントは LANSSO の方が 2 倍に及ぶ。

問題 A1 についてのデータには問題があるが、一応あげる。

問題 A1 $\text{EPS} = 10^{-9}$ $\alpha_l = 2.0$ ($nc = 30$)

	14	5	72	11	3	1	31	81	129	3	1	14*	36*	149
	20	7	76	10	3	0	37	86	117	3	1	0	30	125
	24	9	88	7	2	1	41	100	119	3	1	0	36	129
								36	89				34*	134

問題 A1 $\text{EPS} = 10^{-14}$ $\alpha_l = 2.0$ ($nc = 30$)

* 2ヶ漏算

	14	5	90	15	3	8	42	107	161	4	1	31*	54*	206
	20	7	97	13	3	1	41	108	163	4	1	35*	66*	205
	24	9	102	10	3	5	48	118	175	4	1	28*	64*	183
								44	111				55*	191

* 3ヶ漏算

*印のものは RL逆反復が滞留して反復最大値 6までで打ちきりになったものがあることを示す。A1, $\text{eps} = 10^{-9}$, $\text{epsbi} = 0.4$ のとき 2回, A1 $\text{eps} = 10^{-14}$ のときはそれぞれ 3回ある。RL逆反復のプログ"ラムを改良すれば、それぞれの difo の内容からみて () 内の値で収束すると考えている。すると、A1においては $\text{eps} = 10^{-14}$ のとき CPU カウントは LANSOの方が若干多い程度であり USE カウントは LANSO が約 2 倍程度というイメージとなろう。

結局約言すれば、「LANSO 使用のスツルム・ランチヨス・RL 逆反復法は、甚だしい密集固有値をもつ問題を計算機の精度の限界近くまでの精度で求めようとするときには問題であるが、そうでない問題領域で、スツルム・逆反復・RL 逆反復よりも有利な分野が、かなりありそうである」と言えようか、しかし、LANSO は、すでに述べたこと以外にも、テスト段階でいろいろデリケートな振舞に出会っているので、汎用化のためには、これから尚多くの工数を必要としよう。

なほ、問題 A1 の場合、Parlett 流の選択的直交化なしでは全く使えなかったこと、また 30 個の固有値を一度にやらせようとしたときには、LANSO でもうまく行かなかつたことを附言しておきたい。

文献

- (1) 村田, 後 'スツルム・同時逆反復法' 本講究録
- (2) Parlett·Scott 'Lanczos with Selective Orth' (1979, Math. Comp.)
- (3) Parlett 'The Symmetric Eigenvalue Problems' (1980 Prentice H.)
- (4) Ericsson·Ruhe 'Spectral Shift Lanczos' (1980 Math. Comp.)